

2-3 大山火山灰土の強度に関する実験的研究

鳥取大学 正員 久保田 敬一
 " " ○ 藤村 尚

1. はじめに

大山火山に由来する大山火山灰は山陰地方一帯に広範囲に分布している。この火山灰層は、上、中、下部の3層に分かれ、中、下部層は黒褐色、または赤褐色の火山灰層（中部層2~17m、下部層0.2~2m）であり、上部層は灰色火山灰層で黒色腐植を含む、いわゆる黒ぼくと称するものである。これらの土は一見良質な土のように見えるが、水を含めば非常に軟弱な土になって構造物の基礎として不安定であり、施工上非常にむづかしいものとなる。したがって、これらからなる地層は悪質な地盤である。

本研究においては、県下東伯郡西高尾から採集した火山灰土について、その力学的特性を明らかにするために、三軸せん断試験を行なった。とくに含水比との関係特性について基礎的に研究を行なったのである。また、当実験に関連して2種の火山灰土を対象に、これらの物理的性質ならびに圧縮性、突き固めに対する性質を併せて述べた。

2. 試料ならびに物理的性質

試料；この研究には、大山上部火山灰のうち黒色を呈する表土（以後、黒ぼくと称す）ならびに中部火山灰（以後、 D_3 と称す）の2種類を使用した。これらの試料は空気乾燥し、保存した。

物理的性質；試料の物理的性質は表-1、図-1に示す。図-1によると、黒ぼく、 D_3 の粒度は、比較的よく似かよっている。この曲線はJIS標準試験方法によって求めたものであるが、

フルイによる領域と比重計による領域の間に落差が生じた。また、図は省略するが分散剤を変えて行なった実験で曲線が種々変化した。これらの実験から火山灰土の粒度は、土粒子自体の特性、ならびに試料の状態、処置、操作等によつて種々変化するものと思われる。なお、図-1の○は D_3 、●は黒ぼくを示す。

3. 突き固めに対する性質

JIS 1210によって試験を行なったが、その結果を黒ぼく、 D_3 について、それを図-2、図-3に示す。一般に黒ぼくに対して、これまでの報告によると、突き固め曲線は、偏平で明りようはピークを示さないと云われている。当実験では、比較的ピークがあらわれた。黒ぼく、 D_3 を比較すると、突き固め効果のらがいが明りようで、それぞれの土粒子の特性をあらわしている。

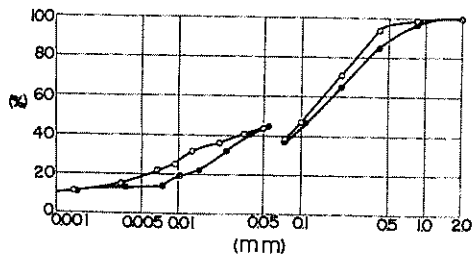


図-1 粒径加積曲線

名 称	黒ぼく	D_3
色	黒	赤褐色
比 重	2.479	2.719
60%径 (mm)	0.18	0.15
10%径 (mm)	0.001	0.001
均等係数	180	150
三角底標による分類		
透水性限界 %	70.00	62.20
塑性限界 %	47.37	33.83
塑性指数 %	22.63	28.37
収縮限界 %		24.21
収縮比		1.684
容積変化 %		63.98
締め收縮 %		4.3
達心含水当量 %	40.51	34.15

表-1 物理的性質

4. 圧縮性

黒ぼく, D_3 の試料について、次のようないずれかの試験を行なった。
供試体は含水比を最適含水比、それ以上、それ以下の3種類に変えて、
じたがって飽和度を変えて、さらに、
間隔比を変化させてそのと、一定の試料を作り、それらが圧縮性
におよぼす影響について、次の2つの実験から検討した。i) 間隔比と荷重、ii) 次下量と時間、
なお試験方法は全て標準圧密試験方法で行なった。測定結果の一例を示すと、まず、間隔比と荷重の関係(図-4, 5)は、黒ぼく、
 D_3 とも含水比を増やすと飽和度が高くなるほど低い時より圧縮量が大きい。
一般に火山灰土は二次圧密が卓越し、次下量と時間(対数)の関係をプロットすると直線であるといわれている。黒ぼく、 D_3
について荷重段階ごとに、次下量と時間の関係をプロットすると、
図-6, 7のようになる。図-6の直線成とは、次の実験式であらわしたもの。

$$S = a + b \log t$$

ここに、 S ; 全次下量、 t ; 時間、 a, b ; 係数である。

なお、 a, b は最小二乗法によつて求めた。図-6によると短時間に約半分の次下量がみられ、ほぼ直線関係があるといふことは、二次圧密が卓越し、いわゆる火山灰土の特性を示している。一般に飽和度の高い試料では、実験式の係数(b)はほぼ一定であり、荷重増加による変化はない。これは省くべ
飽和度が低くなると直線の平行がくずれ、係数(b)は荷重の増加とともに増加傾向を示す。これは黒ぼくの土粒子自体が多孔質であること、粒子の破壊、移動等が圧縮性に影響をおよぼしているものと思われる。 D_3 については、図-7に示すように、一般に直線性は、黒ぼくに較べてみられない。この図を省略するが、飽和度が低い時には、いく分直線性がみられる。

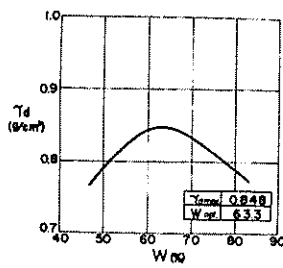


図-2

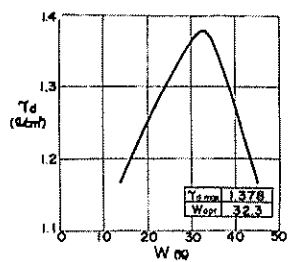


図-3 突き固め曲線

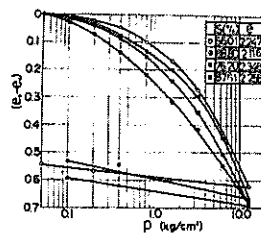


図-4

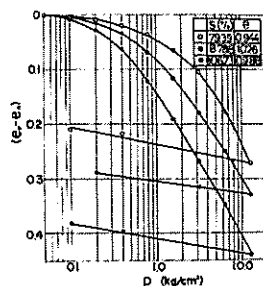


図-5

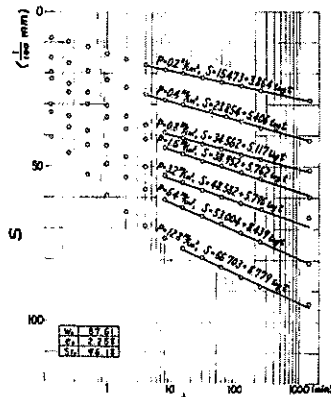


図-6

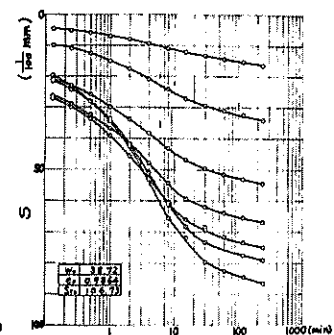


図-7

5. セン断

前述の実験結果から、黒ぼくに較べて火山灰土の特性の少ないと思われるD₃の試料について、三軸圧縮試験を行はり、セン断特性を検討した。供試体は圧密試験同様、含水比を変え、しひがって飽和度を変え、間げき比を変えて、含水比とセン断特性の関係を検討した。試験は、全て圧密非排水試験とし、間げき水圧、体積変化を測定した。試料は、高さ 85.2 mm、直径 38.6 mm とい、側圧は 0.25, 0.5, 1.0, 2.0, 3.0 kg/cm² の 5 段階、ヒズミ速度は全て 1.0 %/min.とした。試験結果は表-2 に示した。i) 軸力-ひずみ；含水比の変化による軸差応力とひずみの関係を図-8 に示す。この図から飽和度の増加とともに、軸差応力は減少し、形状は、ほめうかになる。これは滑滑が弱くなる。でいくためと思われる。なお、低側圧時の飽和度の低い試料では、明りようはピークがあらわれていろいろ他の試料では、ひずみの増加にせいかわらず、そのピークがあらわれなかつた。これは締固め粘性土やゆるい砂にみられる現象と同じである。そこで、ピークのあらわれないものについては、軸ひずみが 18 % 時の軸差応力を最大軸差応力としてまとめた。ii) 体積変化；体積変化率とひずみの関係を図-9 に示す。図に示されたように、ひずみの増加とともに、体積が減少している。また、体積変化と飽和度の関係をプロットしたものと図-10 に示す。飽和度が 100 % に近い供試体では、ほとんど体積変化はみられないが、飽和度が低く、側圧が大きい時は体積変化が大きくあらわれるようである。iii) セン断特性；試験結果から、見かけの粘着力 (C) と間げき比 (e), 見かけの粘着力 (C) と飽和度 (S), 内部摩擦角 (ϕ) と間げき比

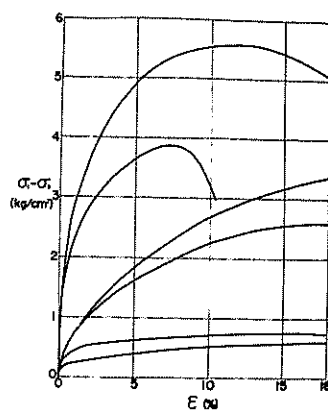


図-8

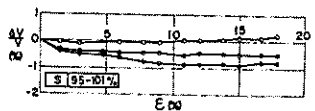
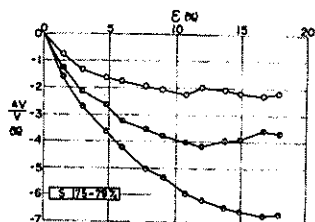
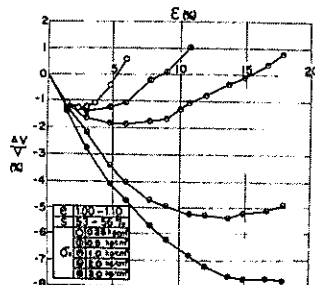


図-9

	W (%)	S (%)	e	C	C'	φ (°)	ψ (%)
A-1							
2	20.64	54.49	1.0409	0.848	0.779	32°36'	34°45'
3	18.58	43.59	1.1717	0.486	0.441	31°49'	34°55'
4	19.49	42.74	1.2594	0.248	0.204	34°06'	37°30'
B-1	29.84	90.38	0.9419	0.802	0.781	20°50'	23°27'
2	28.76	76.61	1.0324	0.667	0.701	17°47'	20°55'
3	27.61	66.09	1.1446	0.241	0.275	21°28'	18°29'
4	28.87	63.83	1.2574	0.323	0.267	23°42'	25°08'
C-1							
2	38.02	98.94	1.0477	0.149	0.198	14°14'	18°51'
3	39.70	94.05	1.1601	0.119	0.149	15°05'	15°56'
4	43.17	94.90	1.2513	0.080	0.098	16°47'	16°50'

表-2 セン断試験の結果

(e), 内部摩擦角(ϕ)と飽和度(S)の関係を、それから 図-11, 12, 13, 14に示す。なお、(C') ならびに (ϕ') は有効応力による粘着力と内部摩擦角を示している。全応力による (ϕ), 有効応力による (ϕ') 内部摩擦角は両方とも、飽和度の増加とともに減少していく。間げき比の変化によつて内部摩擦角は影響されない。次に粘着力(C)については、(e)の大さい供試体でのことと、飽和度の増加とともに、(C)は減少していく。また飽和度の低い供試体は、(e)の増加とともに、(C)は減少する。以上のことから飽和度が増加について、強度が低下すると云ふ。

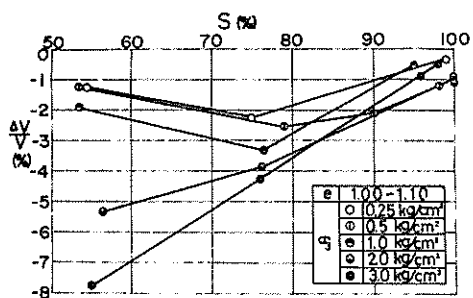


図-10

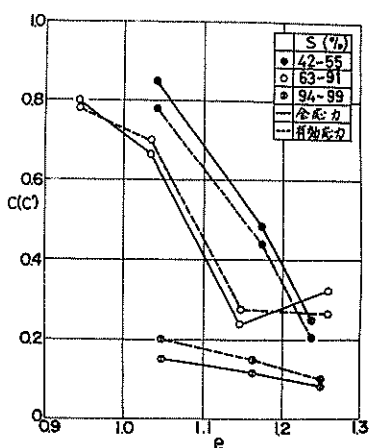


図-11

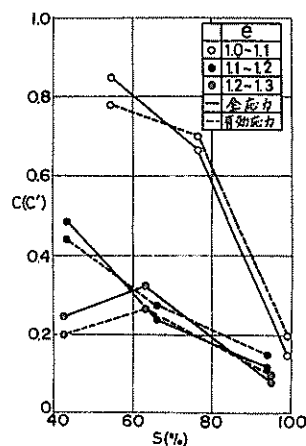


図-12

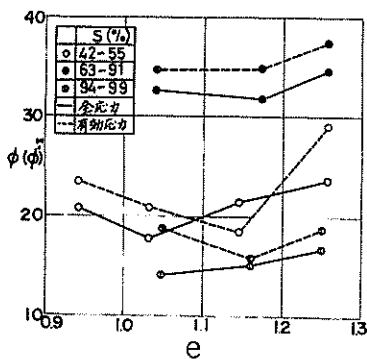


図-13

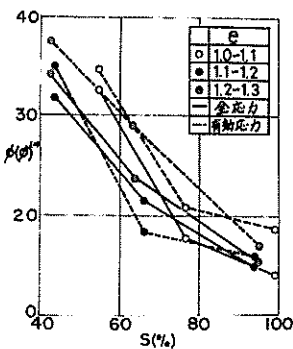


図-14